

## ЛИТЕРАТУРА

1. Вулис Л. А., Кацкаров В. П. Теория струй вязкой жидкости. М., Наука, 1965.
2. Коул Дж. Методы возмущений в прикладной математике. М., Мир, 1972.

УДК 532.556.2 : 532.135

## ТЕЧЕНИЕ НЕНЬЮТОНОВСКОЙ ЖИДКОСТИ В КАНАЛЕ С КАВЕРНОЙ БОЛЬШОЙ ДЛИНЫ

Г. И. Бурдэ, Е. П. Ильясов, Ю. И. Терентьев,  
Г. З. Файнбург  
(Перевод)

Задача о течении жидкости в канале с каверной представляет интерес для многочисленных приложений. Различным вариантам этой задачи для случая ньютоновской жидкости посвящено значительное число работ (см. обзор [1]). Однако в литературе практически отсутствуют работы, рассматривающие аналогичные течения неньютоновских жидкостей [2, 3].

Между тем задача о течении вязкопластической жидкости в зазоре с углублением представляет интерес для практики нефтяного бурения, поскольку моделирует в известной степени процесс цементирования скважин с кавернами в стенках.

1. В качестве модели неньютоновской жидкости была выбрана квазипластическая жидкость Уильямсона [4], в которой эффективная вязкость  $\eta$  задается выражением  $\eta = \eta_\infty + \tau_0/(b + I)$ , где  $\eta_\infty$  — динамическая ньютоновская вязкость при бесконечно больших скоростях сдвига;  $\tau_0$  — некоторый аналог предельного напряжения сдвига жидкости Бингама;  $b$  — параметр модели Уильямсона;  $I$  — корень квадратный из второго инварианта тензора скоростей деформации. При  $b = 0$  модель описывает вязкопластическую жидкость Бингама; случаю ньютоновской жидкости соответствует  $\tau_0 = 0$ .

Безразмерные уравнения, определяющие плоское стационарное течение, запишем через функцию тока  $\psi$  и завихренность  $\Omega$ :

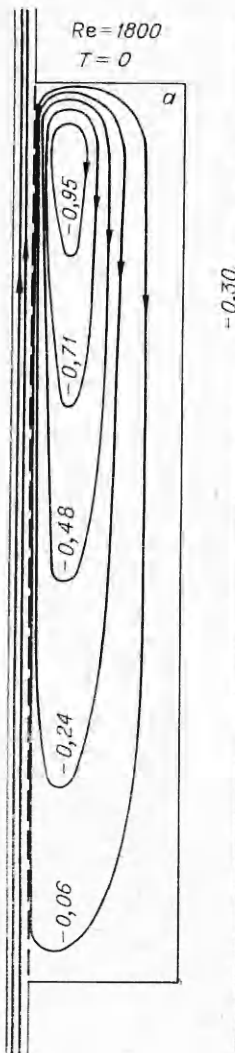
$$\operatorname{Re} \left( \frac{\partial \psi}{\partial x} \frac{\partial \Omega}{\partial y} - \frac{\partial \psi}{\partial y} \frac{\partial \Omega}{\partial x} \right) + \Delta(v\Omega) - \Omega \Delta v = 4 \frac{\partial^2 v}{\partial x \partial y} \frac{\partial^2 \psi}{\partial x \partial y} + \left( \frac{\partial^2 v}{\partial x^2} - \frac{\partial^2 v}{\partial y^2} \right) \left( \frac{\partial^2 \psi}{\partial x^2} - \frac{\partial^2 \psi}{\partial y^2} \right),$$

$$(1.1) \quad \Delta \psi = -\Omega,$$

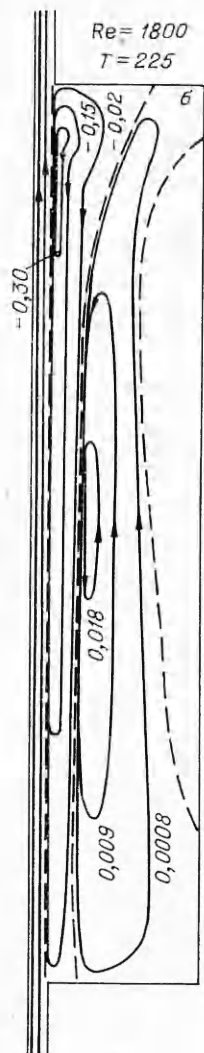
$$v = 1 + T \left\{ B + \operatorname{Re} \left[ 4 \left( \frac{\partial^2 \psi}{\partial x \partial y} \right)^2 + \left( \frac{\partial^2 \psi}{\partial x^2} - \frac{\partial^2 \psi}{\partial y^2} \right)^2 \right]^{1/2} \right\}.$$

В качестве единиц измерения длины и скорости выбраны полуширина канала  $d$  и средняя скорость  $U$ , определяемая по расходу;  $v = \eta/\eta_\infty$  — безразмерная эффективная вязкость. Уравнения (1.1) содержат три критерия подобия:  $\operatorname{Re} = Upd/\eta_\infty$  — число Рейнольдса,  $T = \tau_0 \operatorname{od}^2/\eta_\infty^2$  — аналог числа Хедстрема для жидкости Бингама,  $B = b \operatorname{od}^2/\eta_\infty$  — безразмерный параметр модели Уильямсона.

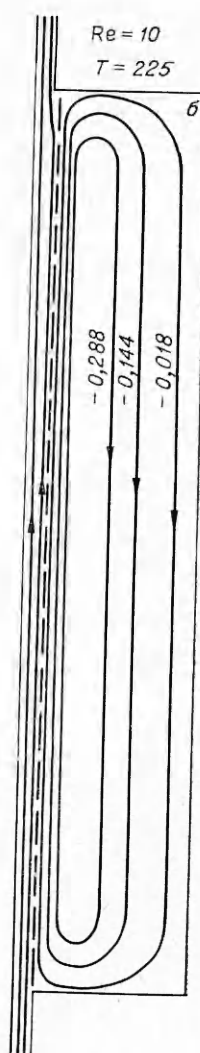
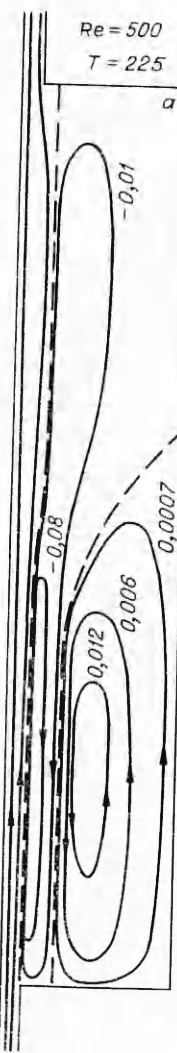
Форму расчетной области можно видеть на фиг. 1,2. В качестве граничных условий во входном и выходном сечениях, расположенных на достаточном удалении от каверны, используется точное решение уравнений (1.1), соответствующее плоскопараллельному течению [5]. Остальные границы считаются твердыми, условия для  $\psi$  и  $\Omega$  на них ставятся обычным образом.



Ф и г. 1



Ф и г. 2



Для решения уравнений использовалась разностная схема с аппроксимацией первых производных от завихренности в (1.1) односторонними разностями, ориентированными «против потока», и центрально-разностной аппроксимацией остальных производных. Система разностных уравнений решалась итерационным методом Либмана с последовательной нижней релаксацией.

2. Рассмотрим некоторые результаты расчетов. Наибольший интерес представляют течения в длинных и глубоких кавернах, часто встречающихся в естественных условиях. Поэтому все приводящиеся ниже карты линий тока относятся к каверне с безразмерными глубиной  $H = 20$  и длиной  $L = 120$ .

Картина течения ньютоновской жидкости показана на фиг. 1, а ( $Re = 1800$ ). Просматривается струя, образующаяся при внезапном расширении сечения канала и натекающая на заднюю стенку каверны, а также зона обратного более медленного течения вблизи твердых границ каверны. Центр вихревого движения сильно смещен к задней стенке, ко-

торая преграждает путь струе, заставляя присоединенные массы резко отклоняться в каверну. Как показали расчеты, такая структура течения сохраняется и для квадратных каверн, что качественно хорошо согласуется с экспериментальными данными (см., например, [6]).

Характер движения неильтоновской жидкости существенным образом определяется неоднородностью пространственного распределения эффективной вязкости, зависящей от градиентов скорости и параметров  $B$ ,  $T$ ,  $Re$ .

Параметр  $B$  выбирался так, чтобы рассматриваемая жидкость была близка по своим свойствам к жидкости Бинггама. Обычно полагалось  $B = 0,01T$ ; как показали проверочные расчеты, дальнейшее уменьшение  $B$  практически не изменяет структуры течения.

При увеличении числа Хедстрема  $T$  от нуля до значения  $T = 225$  при постоянном  $Re = 1800$  (фиг. 1, а, б) наряду с возникновением вторичного вихря и застойной зоны у дна каверны наблюдается уменьшение доли объема каверны, занимаемой основным вихрем. Появление застойной зоны у дна каверны связано, по-видимому, с большой ее глубиной. Расчеты, проведенные для каверны с  $H = 9$  и  $L = 60$  (т. е. при  $H/L$ , близком к 20/120), обнаруживают сходные структуры течения, но без застойной зоны.

Уменьшение числа Рейнольдса при постоянном и достаточно большом значении параметра  $T = 225$  может приводить к существенной смене режима течения — именно этот переход отображен на фиг. 1, б, 2, а. Центр основного вихря смещается к переднему краю выемки, интенсивность его при этом сильно падает, у заднего края каверны образуется практически застойная зона, и наряду с этим наблюдается некоторое затекание основного сквозного потока в каверну на глубины порядка ширины канала.

На фиг. 2, б представлен режим ползущего течения, наблюдающийся при малых  $Re$  и больших  $T$ . Дальнейшее уменьшение  $Re$  приводит, с одной стороны, к увеличению вязкости, а с другой стороны, к уменьшению вклада инерционных членов в уравнение движения. При очень малых  $Re$  наблюдается значительное затекание потока в средней части каверны — этот режим подробно рассматривался в [5].

Заметим, что анализ расчетных данных показывает, что влияние увеличения  $T$  при постоянном числе Рейнольдса  $Re$  на структуру течения сходно до некоторой степени с влиянием уменьшения  $Re$  при постоянном  $T$ .

Кратко упомянем о результатах, относящихся к кавернам других размеров. Например, серия расчетов, проводившихся для выемок различной глубины (от  $H = 4$  до  $H = 32$ ) при длине  $L = 120$ , показала, что в режиме течения, изображенном на фиг. 2, а ( $Re = 1800$ ,  $T = 225$ ), абсолютная глубина затекания у заднего края каверны несколько увеличивается при уменьшении  $H$ . При  $H = 4$  сквозной поток доходит у заднего края до «дна» каверны.

В квадратных кавернах изменения в структуре течения не столь заметны, как в длинных кавернах. Центр основного вихря здесь всегда находится у заднего края выемки, а ниже наблюдается (в зависимости от глубины каверны) движение с одним или несколькими вихрями.

Поступила 9 VII 1979

#### ЛИТЕРАТУРА

1. Горин А. В. Обзор моделей расчета течения несжимаемой жидкости в квадратной каверне.— В кн.: Градиентные и отрывные течения. Новосибирск, 1976.
2. Riha P., Lhota E. Two-dimensional flow of non-Newtonian fluid in a channel with rectangular cavities.— Acta techn. ČSAV, 1972, vol. 17, N 4.

3. Бахтияров С. И. Экспериментальное исследование динамики вытеснения жидкости из каверны.— В кн.: Теплофизика и физическая гидродинамика. Новосибирск, 1978.
4. Cramer S. D., Marchello J. M. Numerical evaluation of models describing non-Newtonian behavior.— A. I. Ch. E. J., 1968, vol. 14, N 6.
5. Бурд Г. И., Ильясов Е. П., Терентьев Ю. И., Файнбург Г. З. Численное исследование движения неильтоновской жидкости в канале с углублением.— В кн.: Гидродинамика. Вып. 9. Пермь, 1976.
6. Богатырев В. Я. и др. Экспериментальное исследование течения в траншее.— ПМТФ, 1976, № 2.

УДК 532.529

## РЕОЛОГИЧЕСКИЕ УРАВНЕНИЯ СОСТОЯНИЯ СЛАБОКОНЦЕНТРИРОВАННЫХ СУСПЕНЗИЙ ДЕФОРМИРУЕМЫХ ЭЛЛИПСОИДАЛЬНЫХ ЧАСТИЦ

*Куак Ван Донг, Ю. И. Шмаков*

*(Киев)*

В [1] с позиций структурно-континуального подхода [2, 3] получены реологические уравнения состояния разбавленных суспензий деформируемых эллипсоидальных частиц, обладающих внутренней упругостью и вязкостью, с дисперсионной средой, являющейся пьютоновской жидкостью.

В данной работе эти результаты обобщаются на большие концентрации. Учет влияния гидродинамического взаимодействия взвешенных частиц на реологическое поведение суспензии проводится с помощью подхода Симха [4].

Как и в [1], будем моделировать взвешенные частицы эллипсоидом, обладающим внутренней линейной упругостью и линейной вязкостью (тело Фойгта), меняющим в процессе взаимодействия с дисперсионной средой свои размеры, но сохраняющим свой объем и остающимся по форме эллипсоидом вращения. Для установления реологических уравнений состояния рассматриваемых суспензий с помощью структурно-континуального подхода необходимо определить возмущения, вносимые в неоднородное течение дисперсионной среды взвешенной частицей, при этом для учета гидродинамического взаимодействия взвешенных частиц граничные условия «на бесконечности» в соответствии с [4] должны быть снесены на поверхность экранирующей частицу сферы с центром, совпадающим с центром частицы, и радиусом  $R = (ab^2/\Phi)^{1/3}$ , где  $2a$  и  $b$  — длина оси вращения и экваториальный радиус частицы соответственно;  $\Phi$  — объемная концентрация взвешенных частиц.

Решение настоящей гидродинамической задачи в приближении Стокса будем искать методом последовательных приближений [5]. В качестве первого приближения примем решение, полученное в [1] для случая, когда частица обтекается неограниченным потоком дисперсионной среды, но граничные условия «на бесконечности» снесены на поверхность сферы, радиус которой значительно превышает эффективный радиус частицы. В подвижной системе координат  $x_i$  с началом в центре частицы и осями, совпадающими по направлению с направлениями главных осей эллипсоидальной частицы, это решение имеет вид

$$(1) \quad u_i = u_{0i} + \frac{\partial}{\partial x_i} (D_j \chi_j) - \varepsilon_{ijk} K_j \frac{\partial \chi_j}{\partial x_k} + c_{jk} x_j \frac{\partial^2 \Omega}{\partial x_i \partial x_k} - c_{ij} \frac{\partial \Omega}{\partial x_j} - \frac{4}{3R^3} (c_{ki} - c_{ik}) x_k + \frac{4x_i \Psi}{R^5} + \frac{5(R^2 - r^2)}{R^5} \frac{\partial \Psi}{\partial x_i},$$

$$p = p_0 + 2\mu c_{ij} \frac{\partial^2 \Omega}{\partial x_i \partial x_j},$$